

КОНФЕРЕНЦИИ И СИМПОЗИУМЫ

Научная сессия Отделения общей физики и астрономии Российской академии наук

(29 ноября 1995 г.)

29 ноября 1995 г. в Институте физических проблем им. П.Л. Капицы РАН состоялась научная сессия Отделения общей физики и астрономии РАН. На сессии были заслушаны доклады:

1. Леденцов Н.Н., Устинов В.М., Иванов С.В., Мельцер Б.Я., Максимов М.В., Копьев П.С., Алферов Ж.И. (Физико-технический институт им. А.Ф. Иоффе РАН, Санкт-Петербург), Бимберг Д. (Institut für Festkörperforschung, Technische Universität Berlin, Berlin, Germany). *Упорядоченные массивы квантовых точек в полупроводниковых матрицах.*

2. Долгополов В.Т. (Институт физики твердого тела РАН, Черноголовка). *Переколяционные переходы металло-диэлектрик в двумерных электронных системах.*

3. Днепровский В.С. (Физический факультет МГУ, Москва). *Нелинейные оптические свойства полупроводниковых квантовых проводников и точек.*

4. Артеменко С.Н., Волков А.Ф., Зайцев-Зотов С.В. (Институт радиотехники и электроники РАН, Москва). *Квазидимерные проводники с волнной зарядовой плотностью.*

5. Добровицкий В.В. (Физический факультет МГУ), Звездин А.К. (Институт общей физики РАН), Попков А.Ф. (Государственный научно-исследовательский институт физических проблем, Зеленоград). *Гигантское магнето-сопротивление, спин-переориентационные переходы и макроскопические квантовые явления в магнитныхnano-структурах.*

6. Беляевский В.И., Копаев Ю.В., Корняков Н.В. (Физический институт им. П.Н. Лебедева РАН, Москва). *Управляемая модуляция энергии связи примесных состояний в системе квантовых ям.*

кристалле позволяет реализовать высокие концентрации электронов и дырок за счет легирования полупроводника и обуславливает возможность получения интенсивных электрических потоков при незначительной диссиpации энергии. С большой плотностью атомов в кристалле связаны и высокие значения коэффициентов фундаментального поглощения и соответственно высокие коэффициенты усиления при создании инверсии заселенностей. Указанные свойства важны, например, для использования полупроводников в качестве фотоприемников и инжекционных лазеров. При этом изобретение [1–3] и реализация "идеальных" бездефектных гетероструктур [4–6] качественно расширили возможности управления электронными и световыми потоками в кристалле.

Вместе с тем высокая плотность атомов имеет и очевидные последствия, зачастую отрицательно сказывающиеся на работе приборов. Дискретные атомные уровни, характерные для газа атомов, в кристалле расщепляются в широкие зоны разрешенных состояний, что обусловлено в конечном итоге большой плотностью атомов, приводящей к эффективному взаимодействию их электронных оболочек. Данный эффект делает возможным энергетическое "расплывание" носителей заряда с ростом температуры и соответствующую деградацию характеристик большинства микро- и оптоэлектронных приборов. Например, в гетеролазере такое расплывание носителей по энергии приводит к уменьшению усиления при той же концентрации инжектированных носителей и соответственно к необходимости увеличения плотности тока инжекции для поддержания режима генерации.

Некоторого улучшения характеристик полупроводниковых приборов удалось достичь при использовании в активной области приборов сверхтонких слоев, в которых появляются квантово-размерные эффекты. Изначально непрерывный энергетический спектр носителей заряда в кристалле расщепляется по направлению оси размерного квантования на ряд дискретных энергетических подзон. В случае одиночной квантовой ямы с бесконечными стенками энергетический спектр записывается в виде

$$E = \frac{\hbar^2}{2m^*} \left(\frac{\pi n}{L_z} \right)^2 + \frac{(\hbar k_{x,y})^2}{2m^*}, \quad n = 1, 2, 3, \dots, \quad (1)$$

где m^* — эффективная масса носителя, L_z — толщина квантово-размерного слоя, $k_{x,y}$ — волновой вектор

Упорядоченные массивы квантовых точек в полупроводниковых матрицах

Н.Н. Леденцов, В.М. Устинов, С.В. Иванов, Б.Я. Мельцер, М.В. Максимов, П.С. Копьев, Д. Бимберг, Ж.И. Алферов

1. Введение

Использование полупроводниковых материалов произвело революционизирующее воздействие на микро- и оптоэлектронику. Так, высокая плотность атомов в

носителя заряда вдоль направления, параллельного плоскости слоя. Первый член характеризует дискретный спектр электронных состояний в направлении оси квантования, второй — непрерывный энергетический спектр инфинитного движения носителя в плоскости слоя.

Размерное квантование приводит к заметной модификации электронного спектра кристаллов. Так, плотность состояний вблизи дна подзон размерного квантования не возрастает параболически с энергией, а имеет ступенчатый характер. Если разность энергий между различными подзонами размерного квантования превышает тепловую энергию (kT), ухудшение рабочих характеристик приборов с температурой несколько менее выражено, чем в объемном материале. Так, например, в лучших квантово-размерных лазерах характеристическая температура T_0 , описывающая экспоненциальный рост порогового тока с температурой, приблизительно в два-три раза превосходит аналогичную величину для лазера с толстыми слоями и достигает 240 К. Использование квантовых ям позволило также улучшить модовую стабильность, динамические характеристики и снизить пороговую плотность тока до величин $\sim 50 \text{ A cm}^{-2}$ при 300 К [7]. При этом, однако, проблема разбегания носителей в широком энергетическом окне не была решена до конца.

2. Общие требования к структурам с квантовыми точками

Будущее полупроводниковых приборов связано с использованием структур с размерностью ниже, чем два: квантовых проволок и, особенно, квантовых точек. Квантовая точка представляет собой кристаллит, который можно рассматривать так же, как большой "полупроводниковый атом", состоящий из тысяч–сотен тысяч обычных атомов.

Энергетический спектр носителя заряда для такой системы должен описываться набором полностью дискретных энергетических уровней:

$$E = \delta(n), \text{ где } n = 0, 1, 2, 3, \dots \quad (2)$$

Соответственно спектр поглощения и излучения квантовой точки должен представлять собой набор узких линий с шириной, определяемой временем жизни носителя в точке, например временем излучательной аннигиляции экситона. Тепловое уширение полностью отсутствует.

Возможность как наблюдения эффектов, непосредственно следующих из квантовой механики, так и реализации соответствующих приборных структур определяется возможностью получения "идеальных" квантовых точек. Для большинства применений необходимо иметь квантовые точки в полупроводниковой матрице, позволяющей реализовать токовую инжекцию носителей в точки (полупроводниковые квантовые точки в стеклянных матрицах [8], на которых были проведены пионерские исследования в данной области, представляют интерес для ограниченного круга применений, а граница раздела стекло–полупроводник принципиально не может рассматриваться как бездефектная). Кроме того, желательно разнести уровни размерного квантования для носителей на энергию, превышающую $2\text{--}3 kT$ при комнатной температуре, чтобы не допустить температурного заселения более высоко лежащих уровней. Для большинства полупроводниковых соединений это

означает, что эффективный "радиус" точки не должен превосходить 50 Å. С другой стороны, нижний энергетический уровень носителя в точке должен обладать возможно большей энергией локализации по отношению к энергии континуума (энергии края соответствующей зоны материала матрицы). В противном случае увеличение температуры приведет к термическому выбросу носителей из точек. Кроме того, точки должны обладать бездефектными гетерограницами и не должны содержать центров безызлучательной рекомбинации, чего, как правило, можно достичь, лишь используя прямые методы получения. Для реализации высоких значений максимального усиления необходимо получать *плотные массивы однородных квантовых точек* (в плоскости подложки для инжекционных гетеролазеров и (или) перпендикулярно плоскости подложки, что особенно важно для поверхностно-излучающих лазеров, каскадных лазеров и фотоприемников различных типов).

3. Получение структур с квантовыми точками

3.1. Способы получения структур с квантовыми точками

Для получения квантовых точек использовались различные способы, например селективное травление структур с квантовыми ямами или рост на профилированных поверхностях. Наиболее же перспективными оказались методы прямого получения с использованием эффектов спонтанного образованияnanoструктур, например рост на микроскопически упорядоченных фасетированных поверхностях [9], формирование упорядоченных монослойных доменных структур при субмонослойных осаждениях [10] и, особенно, формирование упорядоченных массивов квантовых проволок и точек за счет эффекта спонтанной морфологической трансформации упругонапряженного слоя [11]. В последнем случае образуются трехмерные островки, когерентные с подложкой (рис. 1). Удивительным оказалось то, что островки, образующиеся на поверхности подложки (в случае роста по механизму Странски–Крастанова покрытой тонким "смачивающим" слоем упругонапряженного материала) обладают высокой однородностью по форме, размерам и упорядочены по своему относительному расположению [11, 12], что, безусловно, открывает принципиально новые возможности как в области фундаментальных исследований нуль-мерных структур, так и их приборных приложений.

3.2. Природа образования упорядоченных массивов квантовых точек

Эффекты спонтанного образования nanoструктур на поверхности давно привлекают к себе внимание физиков. Так, спонтанное образование упорядоченных массивов фасеток на поверхности кристаллов было впервые предсказано в работах Андреева и Марченко [13, 14], при этом было показано, что если фасетирование данной поверхности энергетически выгодно, то с учетом эффекта релаксации собственных напряжений поверхности на границах ребер всегда выгодно периодическое фасетирование. Марченко [15] также показал, что и в случае плоской поверхности, когда на ней существуют две фазы с различающимися значениями тензора поверхностного трения, упругая релаксация поверхностных напряжений на границах доменов делает энергетически выгодным появление периодических поверхностных структур (так называемых "паркетных" структур). Как в

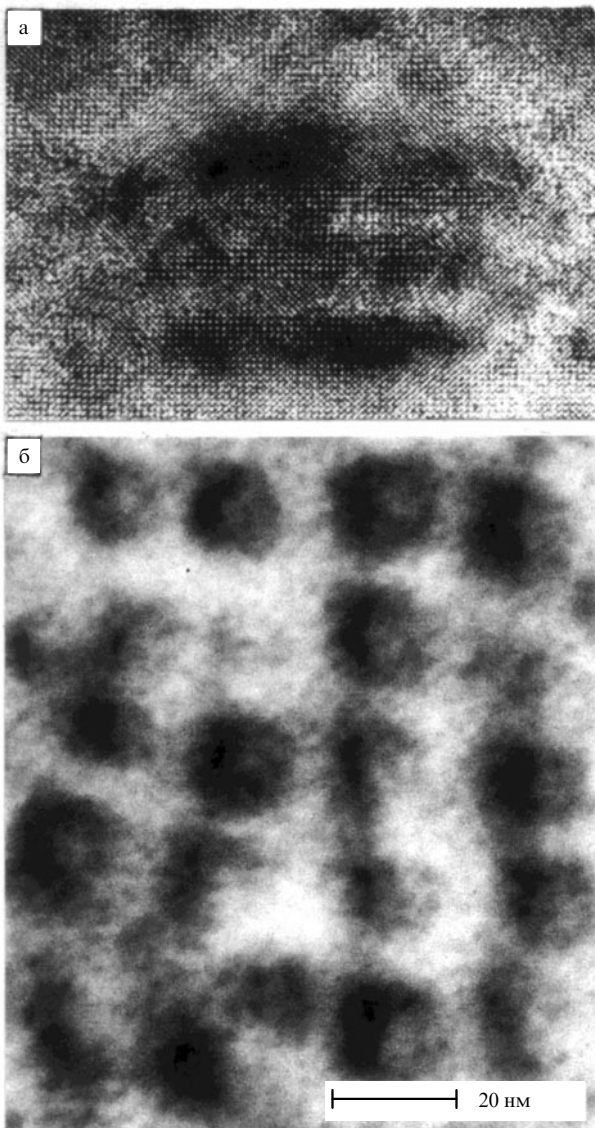


Рис. 1. (а) Изображение, полученное методом просвечивающей электронной микроскопии (ПЭС) высокого разрешения в поперечном сечении вдоль направления [010] массива туннельно-связанных в z -направлении ([100]) квантовых точек. Точки получены при трехкратном осаждении слоев InAs средней толщиной 5 Å, разделенных циклами осаждения GaAs слоями средней толщиной 15 Å (б) ПЭС-микрография (вид сверху) этой же структуры. Точки InAs организованы в плотности подложки в примитивную решетку с основными осями вдоль направлений [010] и [100].

случае фасетирования, так и в случае образования пакетных структур полная площадь поверхности системы островков или системы фасеток не изменяется при изменении характерного периода. В этом смысле образование *трехмерных островков* качественно отличается от первых двух случаев. Движущей силой для такого образования является упругая релаксация объема напряженного островка, возможная в случае образования *трехмерного* островка. При фиксированном количестве осажденного материала упругая релаксация напряжений, связанных с рассогласованием параметров решетки островка и подложки, есть функция *формы*, а не размера островка. В то же время полная площадь поверхности *системы островков* возрастает с

уменьшением характерного размера островка. Энергетически выгодным в данном случае представляется непрерывный рост характерного размера островка во времени за счет испарения более маленьких островков. До недавнего времени такой подход представлялся вполне оправданным, а экспериментально обнаруженную малую дисперсию островков по размерам связывали с кинетическими ограничениями.

Вместе с тем поверхностная энергия упругонапряженного слоя может существенно отличаться от поверхностной энергии релаксированного материала на величину, упрощенно записываемую в виде

$$E = -\tau\varepsilon + S\varepsilon^2, \quad (3)$$

где ε — деформация, τ — коэффициент поверхностного трения, который может быть как положительным (поверхность изначально при $\varepsilon = 0$ "растянута"), так и отрицательным (поверхность "сжата"), S — численный коэффициент. Оценки показывают, что при типичных значениях τ и S в кристаллах и при деформациях порядка и более 10 % второй член, который, как правило, положителен, начинает играть доминирующую роль [16]. Как было впервые показано Щукиным и др. [12], резкое возрастание поверхностной энергии в упругонапряженном слое играет определяющую роль в возможности образования массивов островков, упорядоченных по форме и размеру. Увеличение полной площади поверхности системы в этом случае сопровождается упругой релаксацией деформации материала островка ε и, как следствие, уменьшением поверхностной энергии на единицу площади боковых поверхностей островков по сравнению с поверхностью упругонапряженного смачивающего слоя. Таким образом, полная энергия системы островков может при вполне реалистичных параметрах уменьшаться при увеличении полной площади поверхности системы островков, обусловленным уменьшением характерного размера отдельного островка (до тех пор, пока не начнут играть роль короткодействующие потенциалы, связанные с границами ребер островков-кристаллитов). При небольших размерах островков вклад в упорядочение по размерам может вносить и релаксация поверхностных напряжений на границах ребер [12, 13]. С учетом *растягивающих взаимодействий между островками через упругоанизотропную подложку* минимуму энергии в указанных случаях соответствует латерально упорядоченный массив трехмерных островков одинакового размера и формы [12]. На поверхности (001) кубического кристалла энергетически выгодным является упорядочение островков в примитивную двумерную решетку с основными осями вдоль направлений *наименьшей жесткости* [100] и [010]. Упругая анизотропия подложки ответственна и за форму отдельного островка, имеющего квадратное основание со сторонами вдоль [100] и [010]. Боковые стороны определяются фасетками типа {011} или {023}. Сохранение компактной формы энергетически выгодно, так как позволяет получить большой энергетический выигрыш за счет упругой релаксации напряжений (в случае фасеток типа {011} релаксация составляет 60 % полной упругой энергии напряженного слоя [12]), но с небольшим увеличением площади поверхности.

На рис. 1а представлено изображение, полученное методом просвечивающей электронной микроскопии (ПЭС) высокого разрешения, поперечного сечения

(вдоль направления [010]) массива туннельно-связанных в z -направлении ([100]) квантовых точек [13], организованных в плотности подложки в примитивную двумерную решетку (рис. 1б, ПЭС-микрография, вид сверху) с основными осями вдоль направлений [010] и [100]. Формирование туннельно-связанных островков (например, InAs в матрице GaAs) оказывается возможным благодаря следующему эффекту: частичное заращивание островка (примерно на 1/4–1/2 его полной высоты) приводит к возрастанию упругих напряжений в объеме островка. Появляется термодинамическая тенденция к "всплытию" напряженного материала из зарашенной части в незаращенную и к соответствующему замещению этой части атомами промежуточного слоя GaAs. Многократные осаждения InAs и GaAs приводят к многократному расщеплению напряженного островка, и в результате формируется структура, состоящая из нескольких туннельно-связанных частей, как это показано на рис. 1а [17]. При том же количестве InAs на один цикл осаждения верхние островки имеют несколько больший размер за счет частичного массопереноса InAs из нижних частей.

4. Оптические свойства структур с упорядоченными трехмерными массивами квантовых точек

4.1. Люминесценция трехмерных массивов квантовых точек

На рис. 2а приведены спектры фотолюминесценции (ФЛ) структур, выращенных с одним, двумя, тремя и четырьмя циклами осаждения InAs слоями средней толщиной 1,7 монослоя, разделенных прослойками GaAs средней толщиной 25 Å. При такой толщине промежуточного слоя GaAs расщепление пирамидального островка приводит к образованию близко расположенных в вертикальном направлении островков. Электронные и дырочные состояния в соседних островках являются связанными, что и вызывает длинноволновый сдвиг линии ФЛ квантовых точек при осаждении нескольких слоев InAs за счет уменьшения энергии размерного квантования для основного уровня электрона и дырки. Подобный же эффект наблюдается и для соответствующего пика в спектре калориметрического поглощения [17]. Одновременно резко уменьшается время излучательной рекомбинации экситона в квантовой точке [17].

Увеличение ширины слоя GaAs приводит к смещению линии ФЛ в коротковолновую область (рис. 2б). Это связано с уменьшением взаимодействия между носителями, локализованными в соседних точках. При изменении ширины слоя GaAs от ~ 10 до ~ 25 Å смещение линии ФЛ не слишком существенно, однако увеличение ширины слоя GaAs до ~ 45 Å вызывает значительный сдвиг (~ 40 мэВ) в область больших энергий. При этом максимум линии не достигает положения, характерного для одиночного цикла осаждения InAs, что указывает на важность эффектов туннелирования и в этом случае.

4.2. Инжекционные гетеролазеры на основе трехмерных массивов туннельно-связанных точек

В качестве иллюстраций к возможному использованию трехмерных массивов туннельно-связанных квантовых точек рассмотрим рабочие характеристики инжекционных гетеролазеров. Лазеры с активной областью на основе одиночной плоскости с квантовыми точками в системе (In, Ga) As/GaAs продемонстрировали предсказанное ранее теоретически [18] высокое значение характеристики

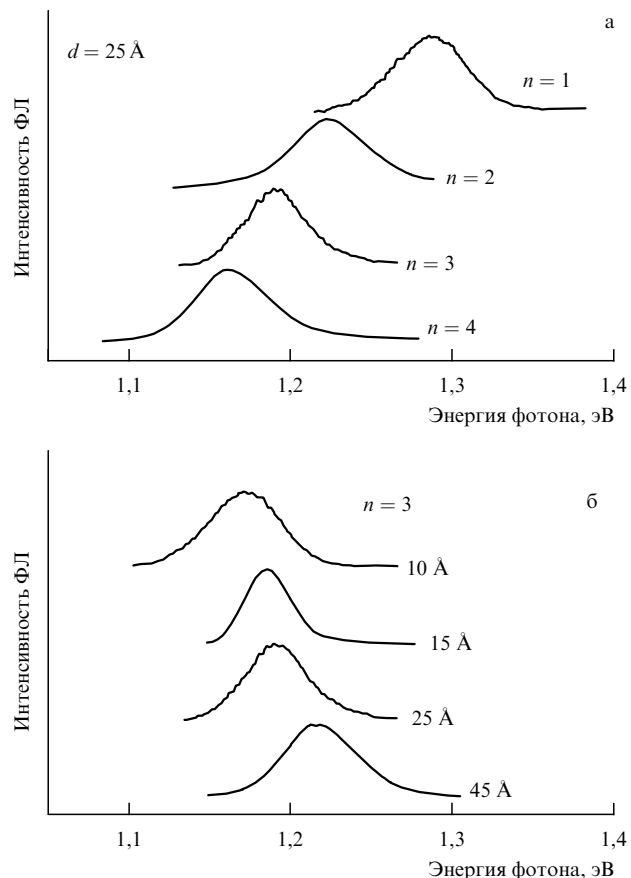


Рис. 2. Фотолюминесценция исследованных структур с туннельно-связанными квантовыми точками при $T = 77$ К: (а) спектры ФЛ структур с одним ($n = 1$), двумя, тремя и четырьмя циклами осаждения InAs средней толщиной 5 Å, разделенных циклами осаждения GaAs средней толщиной 25 Å; (б) зависимость положения линии ФЛ от ширины слоя GaAs для структуры с $n = 3$. Средняя толщина InAs — 5 Å.

ристической температуры T_0 и низкую пороговую плотность тока J_{th} ($T_0 = 425$ К, $J_{\text{th}} \approx 80$ А см $^{-2}$ в диапазоне температур 50–120 К) [17, 19]. Такое поведение согласуется с данными катодолюминесценции высокого спектрального и пространственного разрешения, из которых следует, что люминесценция одиночной квантовой точки представляет собой сверхузкую линию шириной менее 0,15 мэВ, которая не изменяется при изменении температуры в широких пределах, что является доказательством формирования электронной квантовой точки [20]. При комнатной температуре, однако, тепловой выброс носителей из точек приводил к ухудшению рабочих характеристик лазера и сдвигу энергии генерации в коротковолновую сторону (т.е. в область энергий, близких к энергии оптического перехода, соответствующего двумерному смачивающему слою). Для увеличения максимального коэффициента усиления и соответственно улучшения рабочих характеристик лазеров на квантовых точках мы использовали массивы вертикально-связанных квантовых точек (ВСКТ) InAs в матрице GaAs. Такие массивы в данном случае позволяют повысить коэффициент оптического ограничения лазера, уменьшить время захвата и релаксации носителей, время излучательной рекомбинации, увеличить коэффициент усиления и снизить плотность порогового тока.

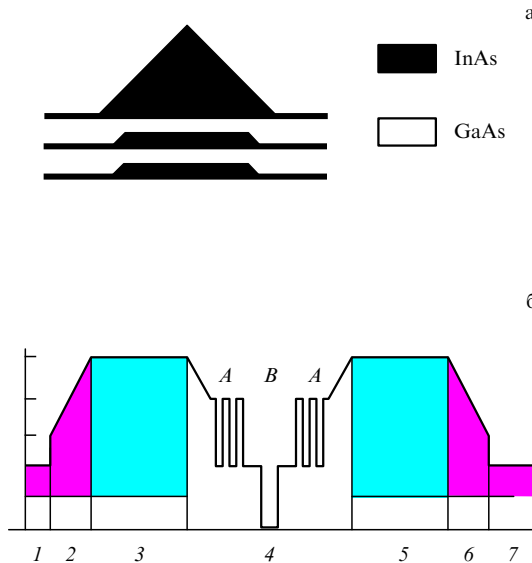


Рис. 3. Схематическое изображение вертикально-связанных квантовых точек (ВСКТ) (а) и лазерной структуры с ВСКТ (б). Размеры областей, мкм: 1, 2, 6 — 0,2; 3, 5 — 1,5; 4 — 0,4; 7 — 0,6. Тип и концентрация примеси, 10^{18} см^{-3} : 1, 2 — 4 (Si); 3 — 2 (Si); 5 — 0,7 (Be); 6, 7 — 20 (Be). В области 4: А — 20 периодов сверхрешетки AlGaAs (20 Å)/GaAs (10 Å), В — ВСКТ, вставленные в слой GaAs толщиной 800 Å.

Массивы ВСКТ формировались путем последовательного осаждения нескольких циклов, каждый из которых состоял из слоя InAs толщиной 1,7 монослоя и слоя GaAs толщиной 40 Å. Схематическое изображение ВСКТ представлено на рис. 3а. Каждая точка состоит из трех вертикально-связанных частей InAs, разделенных прослойками GaAs с толщинами 2–4 монослоя. Верхняя часть имеет латеральные размеры порядка 170 Å, а нижняя часть — порядка 110 Å. Электронные и дырочные состояния в соседних островках являются туннельно-связанными. Точки имеют квадратные основания со сторонами, расположенными вдоль направлений [001] и [010], и образуют примитивную квадратную решетку в плоскости подложки. При комнатной температуре в спектре ФЛ такой структуры наблюдается интенсивная линия, обусловленная переходами между основным состоянием электронов и дырок в туннельно-связанных точках [17].

Схематическое изображение структуры для лазерных исследований представлено на рис. 3б. Для исследования ФЛ верхний контактный слой удалялся с помощью химического травления. На рис. 4 представлен спектр электролюминесценции лазерной структуры на основе ВСКТ. Вплоть до комнатной температуры при малых и умеренных плотностях возбуждения энергия лазерной генерации соответствует максимуму спектра ФЛ. Таким образом, генерация осуществляется через основное состояние ВСКТ. Зависимость пороговой плотности тока и длины волны генерации от температуры представлена на рис. 5а. В диапазоне температур 80–150 К пороговая плотность тока практически не изменяется и составляет 40 A/cm^2 . Зависимость длины волны генерации от температуры следует за температурной зависимостью шириной запрещенной зоны GaAs. При температурах наблюдения выше 180 К

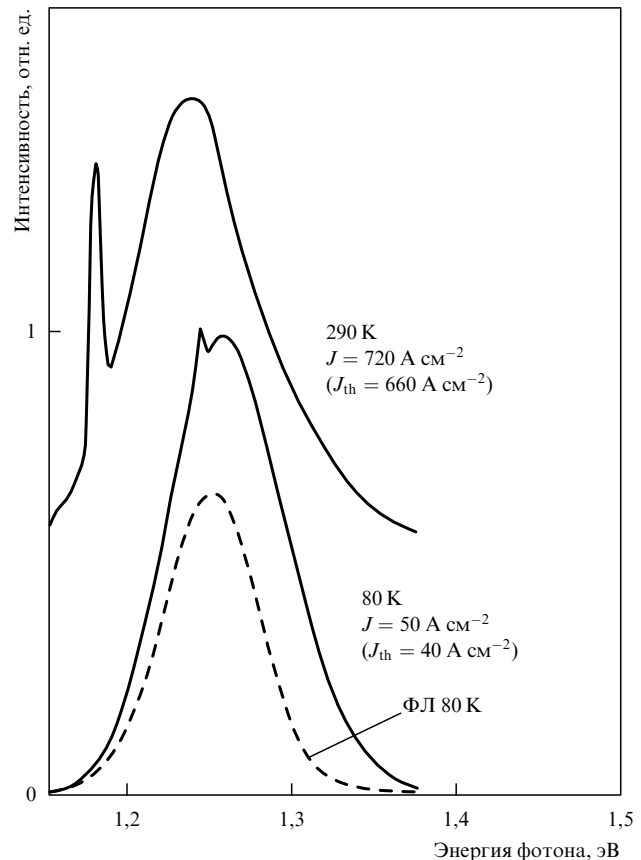


Рис. 4. Спектры электролюминесценции лазерной структуры с ВСКТ при 80 и 290 К, а также спектр фотолюминесценции при 80 К (штриховая линия) той же структуры, у которой с помощью химического травления были удалены верхний эмиттер и контактный слой.

начинается выраженный рост пороговой плотности тока. Данный факт наблюдался ранее в лазерах с одиночной плоскостью с квантовыми точками InAs [17] при температуре 80 К и обусловлен термическим выбросом носителей из квантовых точек. При этом, однако, коротковолнового сдвига энергии генерации не наблюдается, и вплоть до комнатной температуры генерация осуществляется через основное состояние экзитона в квантовой точке. В случае лазера на основе ВСКТ пороговая плотность тока как при 80 К, так и при 300 К существенно ниже, чем в лазере с одним слоем квантовых точек из InAs. Кроме того, температура, при которой начинается термический выброс носителей в область смачивающего слоя и соответственно резкое увеличение T_0 , в случае ВСКТ возрастает до 180 К. Таким образом, использование ВСКТ позволяет существенно улучшить рабочие характеристики лазеров и продлить режим работы с малой пороговой плотностью и высокой температурной стабильностью порогового тока в область более высоких температур. Необходимо отметить, что пороговая плотность тока для лазерной структуры с одиночной квантовой ямой $\text{In}_{0,13}\text{Ga}_{0,87}\text{As}$, выращенной в субмонослоистом режиме [10], имеет температурную зависимость, описываемую характеристической температурой $T_0 = 130$ К во всем диапазоне 80–300 К (рис. 5б). Таким образом, ход температурной зависимости пороговой плотности тока кардинально отличается для лазеров с квантовой ямой

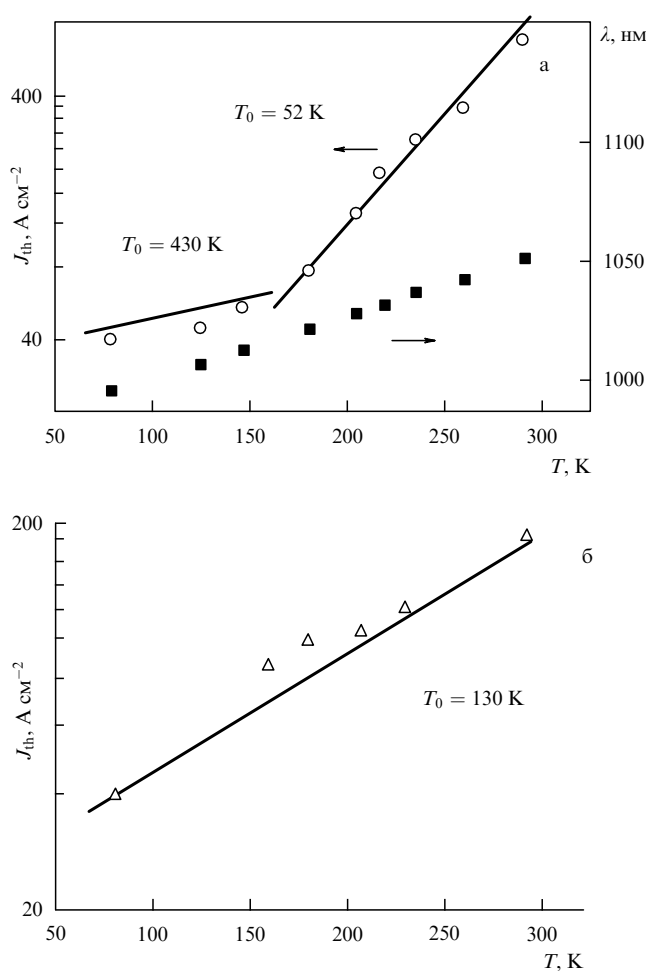


Рис. 5. Зависимость пороговой плотности тока J_{th} и длины волны генерации λ от температуры T для лазера с активной областью на основе ВСКТ (а) и одиночной квантовой ямы (б).

и квантовыми точками, что отражает различный вид плотности состояний для этих случаев.

Очевидно, что использование туннельно-связанных квантовых точек позволяет реализовать лазерную генерацию через основное состояние квантовых точек вплоть до комнатной температуры и существенно увеличить диапазон температурной стабильности порогового тока.

5. Заключение

Эффекты, обусловленные объемными и поверхностными напряжениями, могут приводить к образованию упорядоченных массивов упругонапряженных трехмерных островков в полупроводниковых матрицах. Островки обладают малой дисперсией по размерам и форме и упорядочены по всем трем координатам в искусственный трехмерный полупроводниковый кристалл. Уникальные оптические свойства таких образований позволяют качественно улучшить важнейшие параметры полупроводниковых приборов.

Авторы выражают глубокую признательность Российскому фонду фундаментальных исследований, фонду Volkswagen, Международному научному фонду и INTAS (грант 94-1028) за поддержку наших работ в данной области.

Список литературы

1. Kroemer H *Proc. IRE* **45** 1535 (1957)
2. Алферов Ж И, Казаринов Р Ф *Полупроводниковый лазер на основе гетероструктур* (Аvt. свид. 27448 по заявке 950840 с приоритетом от 30 марта 1963)
3. Kroemer H *Proc. IEE* **51** 1782 (1963)
4. Алферов Ж И и др. *ФТП* **1** 1579 (1967)
5. Алферов Ж И и др. *ФТП* **3** (9) 1328 (1969)
6. Алферов Ж И и др. *ФТП* **4** (9) 1826 (1970); Hayashi I et al. *Appl. Phys. Lett.* **17** 109 (1970)
7. Алферов Ж И и др. *Письма в ЖТФ* **14** 1803 (1988)
8. Екимов А И, Онущенко А А *Письма в ЖЭТФ* **40** (8) 337 (1984)
9. Nötzel R et al. *Phys. Rev. Lett.* **67** 3812 (1992)
10. Wang P D et al. *Appl. Phys. Lett.* **64** 1526 (1994); Bressler Hill V et al. *Phys. Rev. B* **50** 8479 (1994)
11. Ledentsov N N, in *Proc. of the 22nd Int. Conf. on the Physics of Semiconductors Vancouver, Canada, 1994* Vol. 3 (Ed. D J Lockwood) (Singapore: World Scientific, 1995) p. 1855
12. Shchukin V A et al. *Phys. Rev. Lett.* **75** 2968 (1995); Ledentsov N N, Grundmann M *Solid State Electronics* 1996 (in print)
13. Andreev A F Sov. Phys. *JETP* **53** 1063 (1981)
14. Marchenko V I Sov. Phys. *JETP* **54** 605 (1981)
15. Marchenko V I Sov. Phys. *JETP Lett.* **33** 381 (1981)
16. Shchukin V A et al. *Surf. Sci.* (1996) (in print)
17. Ledentsov N N et al. *Phys. Rev. Lett.* (1996) (in print)
18. Arakawa Y, Sakaki H *Appl. Lett.* **40** 939 (1982)
19. Kirstaedter N et al. *Electronics Lett.* **30** 1416 (1994)
20. Grundman M et al. *Phys. Rev. Lett.* **74** 4043 (1995)

PACS numbers: 64.60.Ak, 71.30.+h, 73.30.+y

Перколоационные переходы металл–диэлектрик в двумерных электронных системах

В.Т. Долгополов

Идеальная двумерная электронная система, помещенная в постоянное магнитное поле, обладает энергетическим спектром в виде набора δ -образных пиков, расположенных на шкале энергий в соответствии с величинами циклотронного и спинового расщеплений. Набор одночастичных волновых функций при этом может быть выбран так, что каждая из них будет описывать делокализованное электронное состояние. В реальных системах хаотический потенциал приводит к размытию пиков плотности состояний и появлению на каждом квантовом уровне локализованных электронных состояний [1]. Пока уровень Ферми расположен в полосе локализованных состояний, диссипативная проводимость равна нулю, а холловская квантования: $\sigma_{xy} = n(e^2/h)$, где n — число полос делокализованных электронных состояний под уровнем Ферми. Квантование σ_{xy} следует из калибровочной инвариантности [2, 3] и должно быть точным при нулевой температуре в электронной системе бесконечных размеров.

Следует специально упомянуть два обстоятельства, на которые обращается недостаточное внимание. Во-первых, в неограниченной двумерной электронной системе перенос заряда, описываемый обычно компонентой σ_{xy} , происходит под уровнем Ферми. Во-вторых, в традиционной постановке эксперимента по исследованию целочисленного квантового эффекта Холла [4] в бездиссипативный перенос заряда вовлечены электроны на уровне Ферми в так называемых краевых каналах [5–7]. Последнее обстоятельство не позволяет получить